

# 01 - AIRYJEVI FUNKCIJI

Matematično-fizikalni praktikum, oktober 2023

Luka Skeledžija, 28201079

## 1. Uvod

Airyjevi funkciji  $Ai$  in  $Bi$  se v fiziki pojavljata predvsem v optiki in kvantni mehaniki.

Definirani sta kot neodvisni rešitvi enačbe

$$y''(x) - xy(x) = 0,$$

ki je znana kot Airyjeva oz. Stokesova enačba. To je najenostavnejša linearna diferencialna enačba drugega reda z obratno točko (tj. točko, kjer se značaj rešitev spremeni iz oscilatornega v eksponentni). Neodvisni rešitvi enačbe sta predstavljeni v integralni obliki kot

$$Ai(x) = \frac{1}{\pi} \int_0^{\infty} \cos(t^3/3 + xt) dt,$$

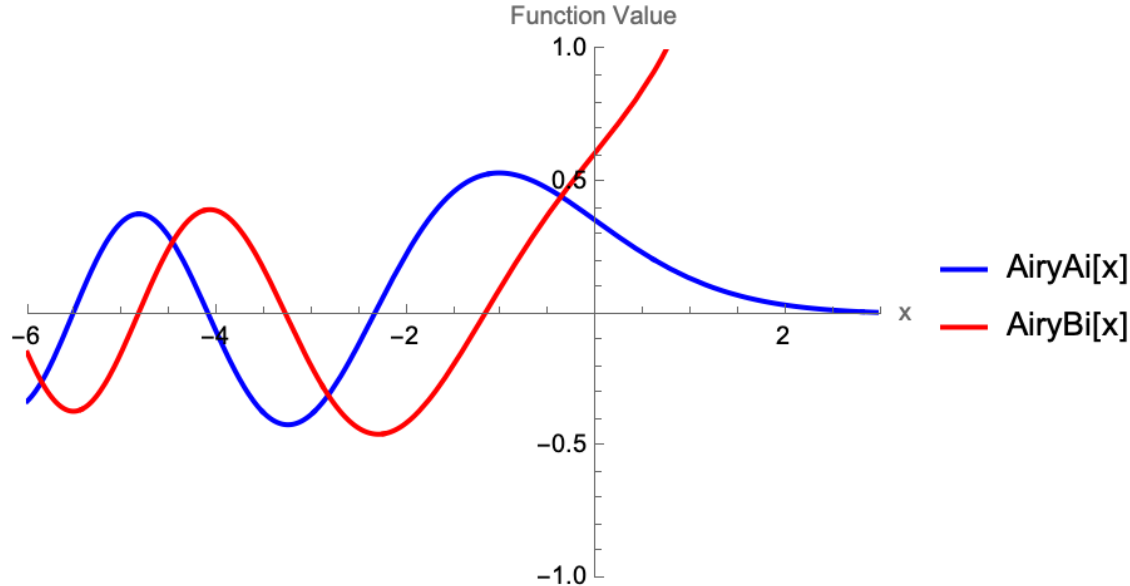
$$Bi(x) = \frac{1}{\pi} \int_0^{\infty} \left[ e^{-t^3/3+xt} + \sin(t^3/3 + xt) \right] dt.$$

## 2. Naloga

Z uporabo kombinacije Maclaurinove vrste in asimptotskega razvoja poišči čim učinkovitejši postopek za izračun vrednosti Airyjevih funkcij  $Ai$  in  $Bi$  na vsej realni osi z **absolutno** napako, manjšo od  $10^{-10}$ . Enako naredi tudi z **relativno** napako in ugotovi, ali je tudi pri le-tej dosegljiva natančnost, manjša od  $10^{-10}$ . Pri oceni napak si pomagaj s programi, ki znajo računati s poljubno natančnostjo.

## 3. Lastnosti Airyjevih funkcij

Funkciji  $Ai$  in  $Bi$  sta definirani na celotni realni osi. Za vrednosti  $x \in \mathbb{R}^-$  sta obe funkciji oscilatorni in omejeni. Za  $x \in \mathbb{R}^+ \cup \{0\}$  pa je funkcija  $Ai$  omejena, medtem ko  $Bi$  narašča čez vse meje.



Graf funkcij Ai in Bi

### 3.1. Matematični pristop in potencialne težave

Za izračun vrednosti funkcij integralov ne bomo neposredno izvrednotili, temveč bomo funkcije razvili v Maclaurinovo in asimptotsko vrsto. Pri tem bomo pazili, da formule implementiramo rekurzivno in tako čim bolj zmanjšamo število potrebnih računskih operacij. Na grobo ocenimo, da z uporabo rekurzivnih formul zmanjšamo časovno zahtevnost programa iz  $O(n^2)$  na  $O(n)$ , kar v računalniškem lingu razume kot "iz zelo počasi v precej hitro".

Za natančnost bomo poskrbeli z ustreznim izborom števila členov v Maclaurinovi oz. asimptotski vrsti. Ker ena vrsta podaja dober približek za zelo majhne vrednosti  $x$ , druga pa za zelo velike, bomo vrste v točkah  $x_-$  in  $x_+$  zlepili. Točke bomo določili na podlagi števila členov, ki jih potrebuje ena in druga vrsta za doseganje tolerirane napake.

Potencialne težave bodo (in tudi so) predstavljale predvsem: omejitve podatkovnega tipa `float`, iskanje zanesljive referenčne vrednosti za oceno napak in iskanje minimuma napake glede na število členov asimptotske vrste.

## 4. Ustreznost referenčne funkcije

Za primerjavo naših vrst z referenčno vrednostjo lahko uporabimo funkciji `mpmath.airyai()` in `mpmath.airybi()` iz Pythonskega paketa `mpmath`. Ker bo to naša osnova za nadaljevanje, je smiselno preveriti, če ti dve funkciji dejansko delujeta pravilno oz. dovolj natančno glede na definicijo Airyjevih funkcij.

Z uporabo programa `Wolfram Mathematica` numerično integriramo definiciji funkcij Ai in Bi v nekaj testnih točkah s sledečimi nastavitvami:

```
xValues = Table[x, {x, -5, 15, 1}];
results = {};

integrandA[t_, x_] := Cos[t^3/3 + x*t];
integrandB[t_, x_] := Exp[-t^3/3 + x*t] + Sin[t^3/3 + x*t];
```

```

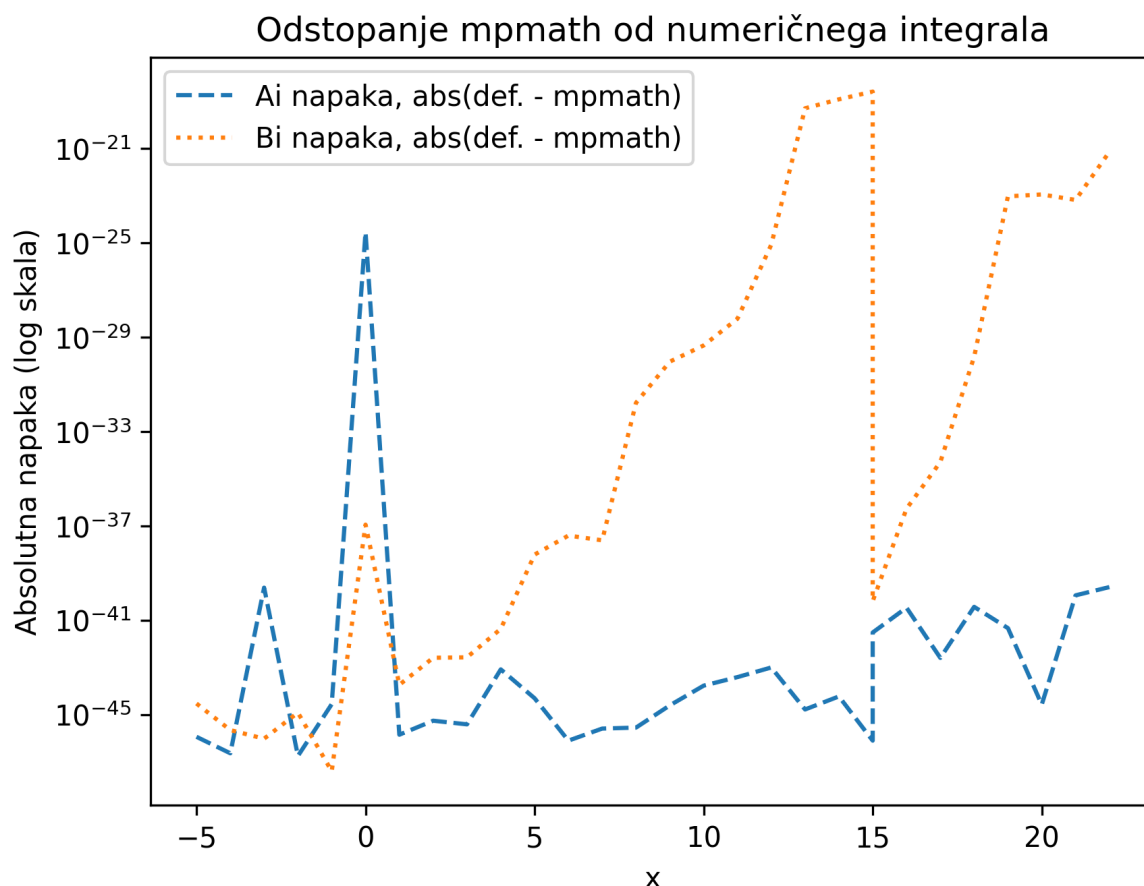
For[i = 1, i <= Length[xValues], i++, x = xValues[[i]];
  resultA =
    NIntegrate[integrandA[t, x], {t, 0, Infinity}, PrecisionGoal
-> 22,
    AccuracyGoal -> 22, WorkingPrecision -> 60];
  resultB =
    NIntegrate[integrandB[t, x], {t, 0, Infinity}, PrecisionGoal
-> 22,
    AccuracyGoal -> 22, WorkingPrecision -> 60];
  results = AppendTo[results, {x, resultA / Pi, resultB /
Pi}];]

xValues = Table[x, {x, 15, 22, 1}];

For[i = 1, i <= Length[xValues], i++, x = xValues[[i]];
  resultA =
    NIntegrate[integrandA[t, x], {t, 0, Infinity}, PrecisionGoal
-> 20,
    AccuracyGoal -> 20, WorkingPrecision -> 60];
  resultB =
    NIntegrate[integrandB[t, x], {t, 0, Infinity}, PrecisionGoal
-> 30,
    AccuracyGoal -> 30, WorkingPrecision -> 60];
  results = AppendTo[results, {x, resultA / Pi, resultB /
Pi}];]

```

Rezultate primerjamo s funkcijama `mpmath.airyai()` in `mpmath.airybi()`, ki ju prav tako nastavimo na 60 decimalk.



**Odstopanje mpmath od numeričnega integrala:** Primerjanih skupno 27 točk. Pri  $x = 15$  povečamo Precision in AccuracyGoal. Izkaže se, da je v Mathematici

dobro targetirati PrecisionGoal in AccuracyGoal vsaj 5 redov višje, saj napaka v primerjavi pada.

Iz grafa razberemo, da `mpmath.airyai()` in `mpmath.airybi()` odstopata od dovolj natančno izračunanega integrala za manj kot  $10^{-10}$ . Torej lahko za primerjavo napak uporabimo kar ti dve funkciji, saj delujeta bistveno hitreje od numerične integracije.

## 5. Maclaurinov približek

Za majhne  $x$  lahko funkciji Ai in Bi izrazimo z Maclaurinovima vrstama

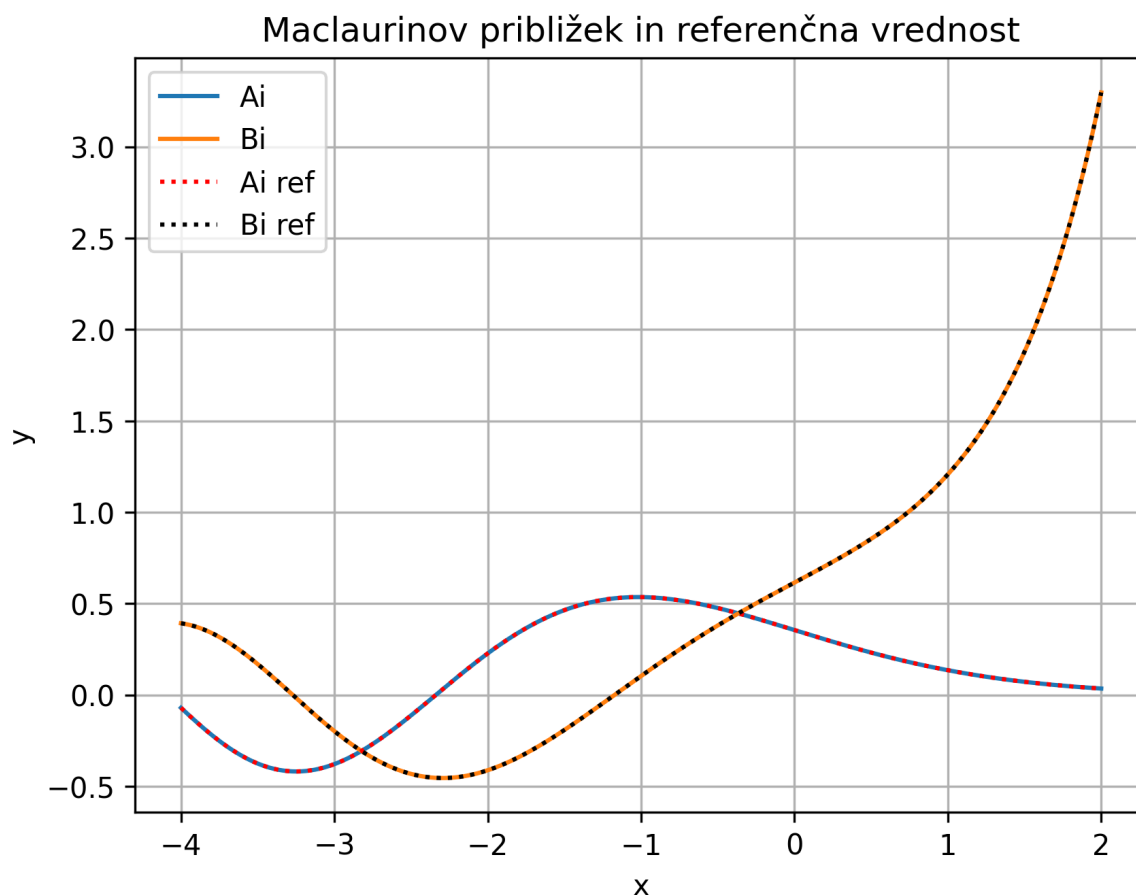
$$\text{Ai}(x) = \alpha f(x) - \beta g(x)$$

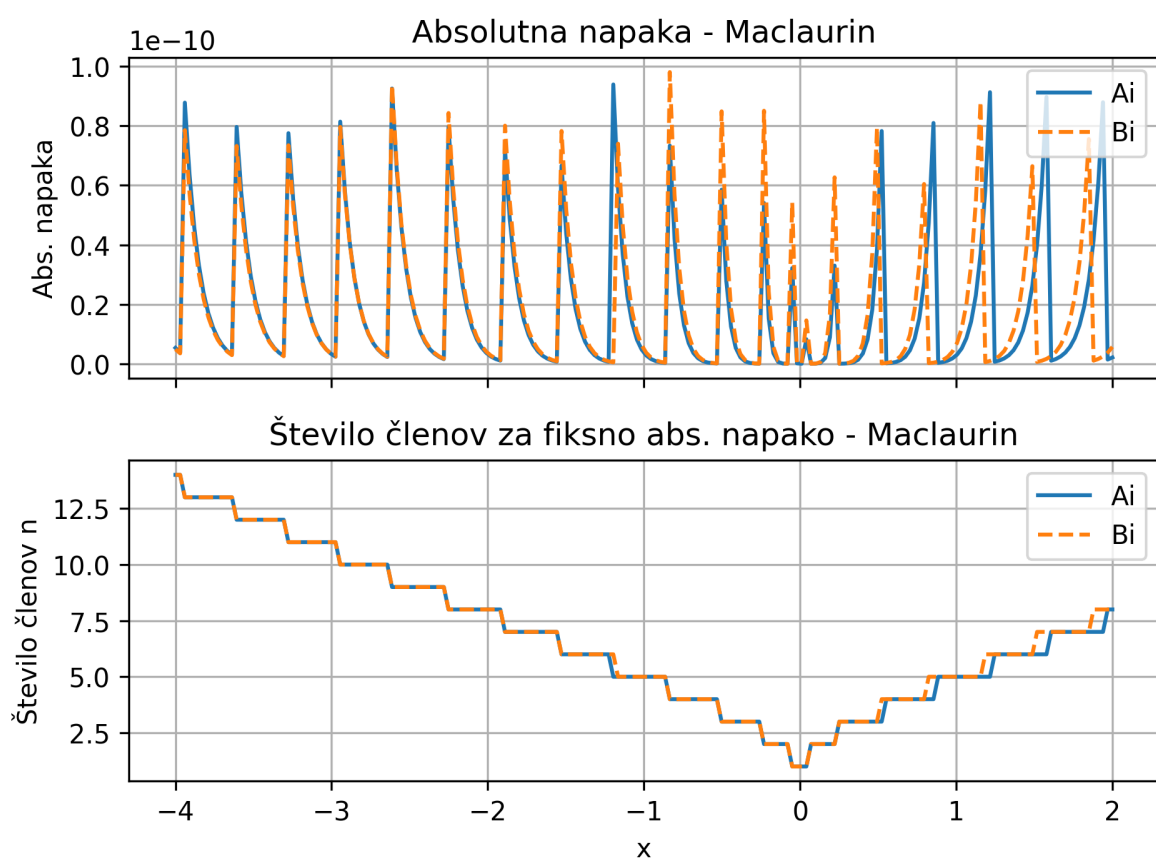
$$\text{Bi}(x) = \sqrt{3} \left[ \alpha f(x) + \beta g(x) \right]$$

kjer v  $x = 0$  velja  $\alpha = \text{Ai}(0) \approx 0.3550\dots$  in  $\beta = -\text{Ai}'(0) \approx 0.2588\dots$  Vrsti za  $f$  in  $g$  zapišemo rekurzivno in  $n$ -ti člen izračunamo kot produkt prejšnjega člena in količnika:

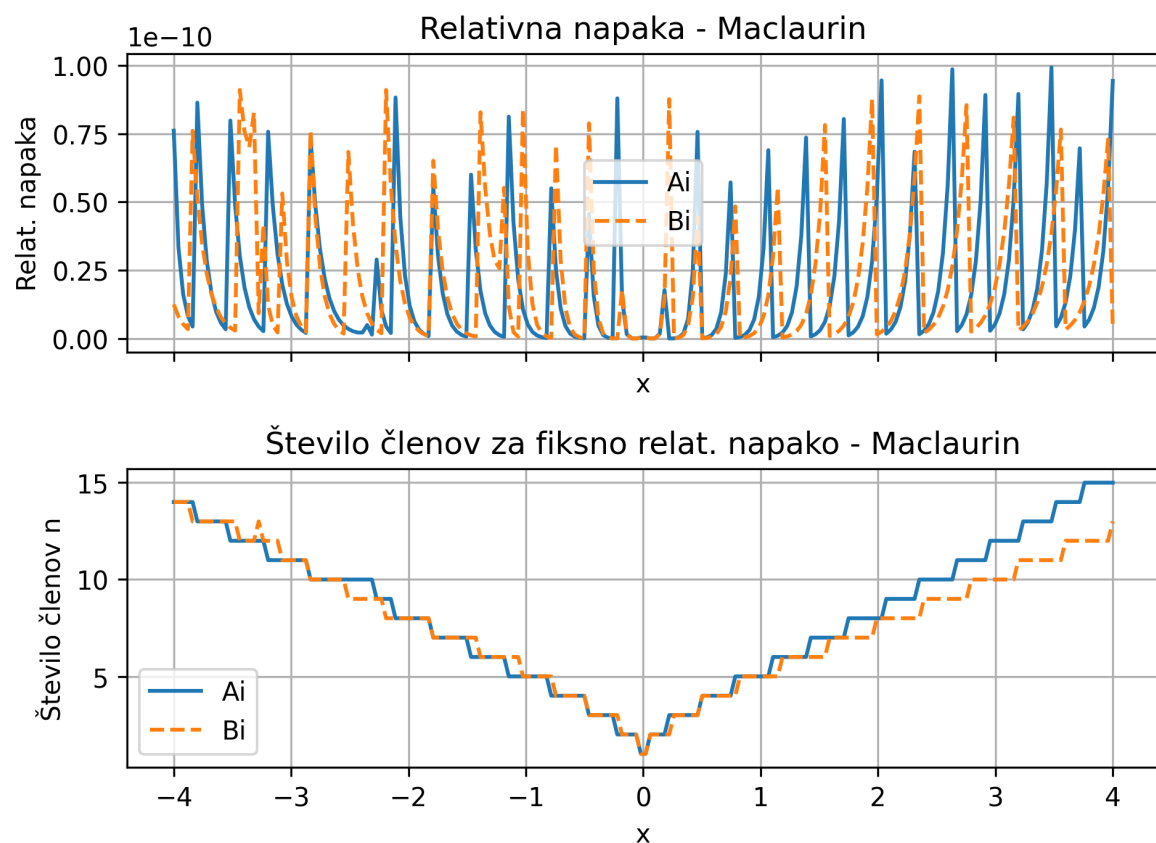
$$f_n = f_{n-1} \cdot \frac{f_n}{f_{n-1}} = f_{n-1} \cdot \frac{x^3}{(3n-1)3n}, \quad f_0 = 1$$

$$g_n = g_{n-1} \cdot \frac{g_n}{g_{n-1}} = g_{n-1} \cdot \frac{x^3}{(3n+1)3n}, \quad g_0 = x$$





**Absolutna napaka:** Iz grafov lahko opazimo, da absolutna napaka narašča z večanjem absolutne vrednosti  $x$ . Tik preden bi presegla mejo  $10^{-10}$ , se vrsti doda še en člen, ki napako zopet zmanjša.



**Relativna napaka:** Tudi tukaj opazimo podobno stvar. Tik preden bi relativna napaka presegla mejo  $10^{-10}$ , se vrsti doda še en člen, ki napako zopet zmanjša.

## 6. Asimptotski približek

Asimptotska vrsta lahko divergira ali konvergira. Napaka, ki jo naredimo pri krajšanju vrste za fiksni  $x$  pri redu  $n$  se ne zmanjšuje z večanjem reda  $n$ , kar pomeni, da se točki  $x < \infty$  ne moremo poljubno približati z večanjem števila členov. Napaka se zmanjšuje proti nič šele, ko pri fiksnem  $n$  povečujemo  $x \rightarrow \infty$ .

Za velike vrednosti  $|x|$  Airyjevi funkciji aproksimiramo z njunima asimptotskima razvojem. Z novo spremenljivko  $\xi = \frac{2}{3}|x|^{3/2}$  in asimptotskimi vrstami

$$L(z) \sim \sum_{s=0}^{\infty} \frac{u_s}{z^s}, \quad P(z) \sim \sum_{s=0}^{\infty} (-1)^s \frac{u_{2s}}{z^{2s}}, \quad Q(z) \sim \sum_{s=0}^{\infty} (-1)^s \frac{u_{2s+1}}{z^{2s+1}},$$

s koeficienti

$$u_s = \frac{\Gamma(3s + \frac{1}{2})}{54^s s! \Gamma(s + \frac{1}{2})}.$$

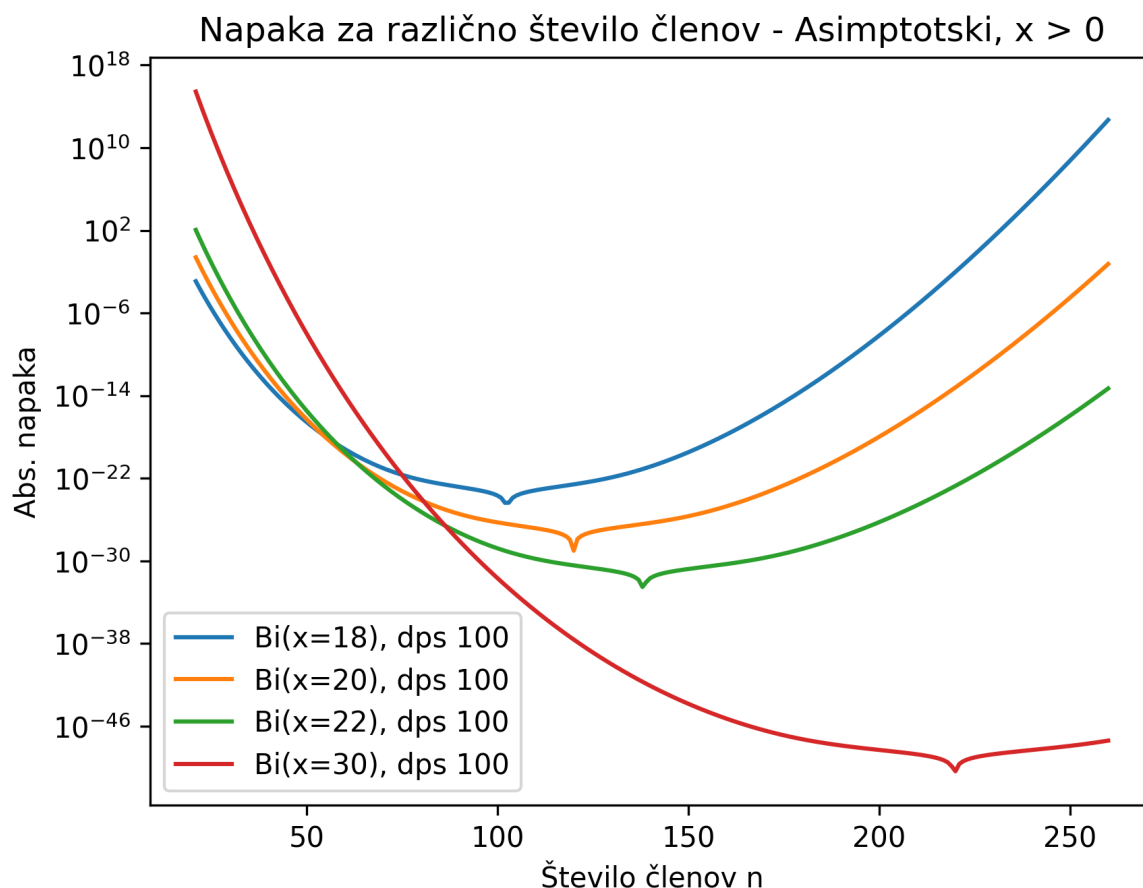
Za velike pozitivne  $x$  izrazimo

$$\text{Ai}(x) \sim \frac{e^{-\xi}}{2\sqrt{\pi}x^{1/4}} L(-\xi), \quad \text{Bi}(x) \sim \frac{e^{\xi}}{\sqrt{\pi}x^{1/4}} L(\xi),$$

za po absolutni vrednosti velike negativne  $x$  pa

$$\begin{aligned} \text{Ai}(x) &\sim \frac{1}{\sqrt{\pi}(-x)^{1/4}} \left[ \sin(\xi - \pi/4) Q(\xi) + \cos(\xi - \pi/4) P(\xi) \right], \\ \text{Bi}(x) &\sim \frac{1}{\sqrt{\pi}(-x)^{1/4}} \left[ -\sin(\xi - \pi/4) P(\xi) + \cos(\xi - \pi/4) Q(\xi) \right]. \end{aligned}$$

Funkcije  $L$ ,  $P$  in  $Q$  ponovno implementiramo rekurzivno.



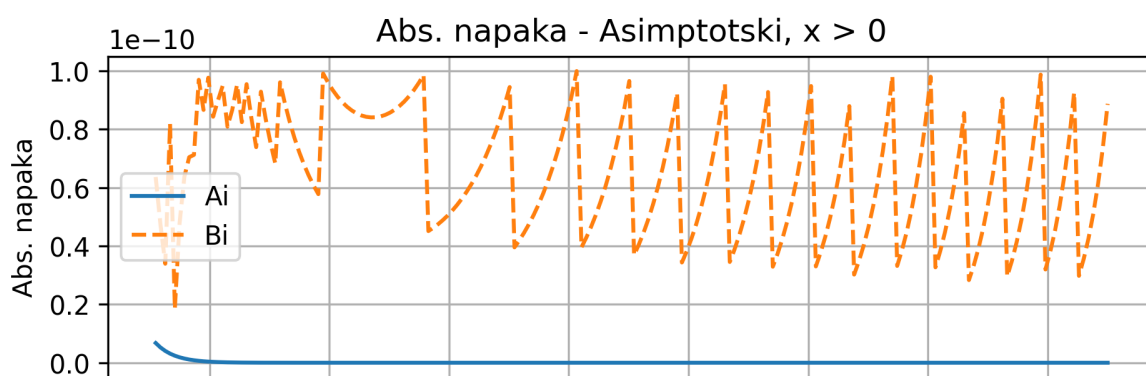
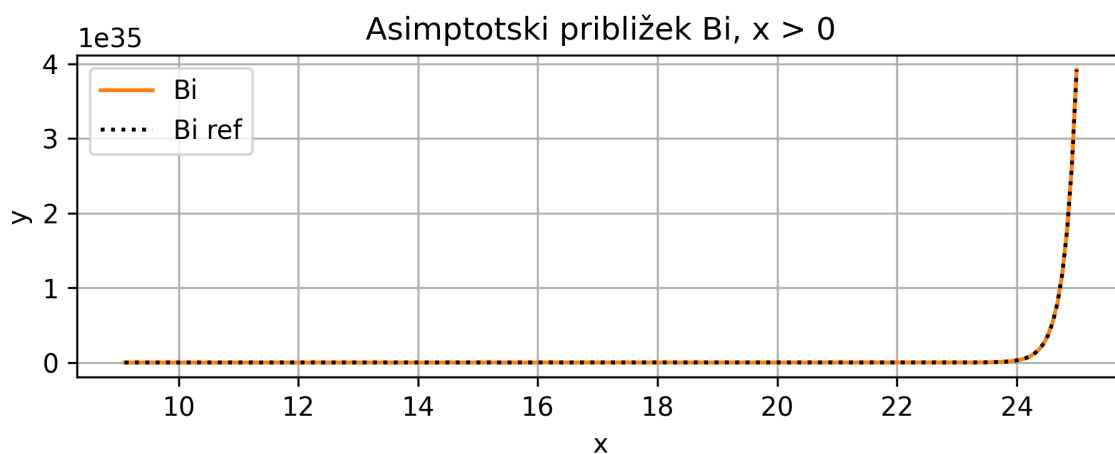
**Napaka za različno število členov:** Asimptotskemu razvoju v našem primeru pada absolutna napaka samo do nekega končnega števila členov. Zato v nadaljevanju naloge jemljemo nove člene  $l_n$ , če so le-ti po absolutni vrednosti manjši od naslednjega.

## 6.1. Za velike pozitivne $x$

Za velike pozitivne  $x$  implementiramo funkcijo  $L(z)$  rekurzivno kot vsoto členov  $l_n$  za  $n \in \mathbb{N}$

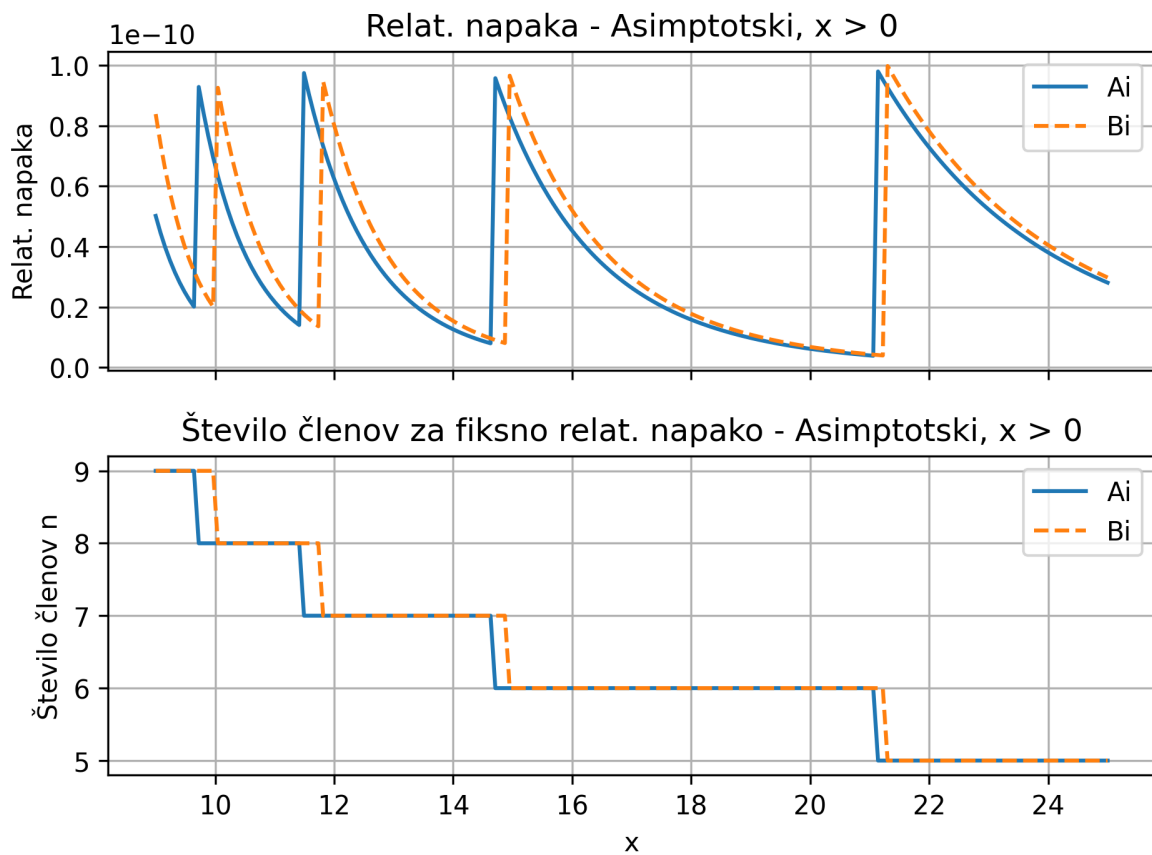
$$l_n = l_{n-1} \cdot \frac{l_n}{l_{n-1}} = l_{n-1} \cdot \frac{(3n + \frac{5}{3})(3n + \frac{1}{2})}{(n+1) 18z}, \quad l_0 = 1.$$

Izračunane vrednosti primerjamo z referenčno funkcijo. Pri računanju z rekurzivno formulo povečujemo število členov dokler ne dosežemo najmanjšega razdalje do reference.



**Absolutna napaka:** Podobno kot pri prejšnjem razvoju opazimo stopničastost pri padcih napake. Število členov za doseganje ustrezne absolutne napake pri  $Bi$  narašča. Vendar so tudi vrednosti funkcije ekstremne;  $Bi$  izjemno hitro narašča,  $Ai$  pa postaja zelo majhna.





**Relativna napaka:** Zanimivo, za doseganje ustrezne relativne napake potrebujemo vse manj členov, saj pri večjih vrednostih  $x$  manjšo vlogo igrajo decimalke. Ta argument je smiseln za  $\text{Bi}$ , funkcija  $\text{Ai}$  pa ima že sama po sebi pri tako velikih  $x$  vrednost blizu  $10^{-9}$ , kar je skoraj znotraj iskanega intervala.

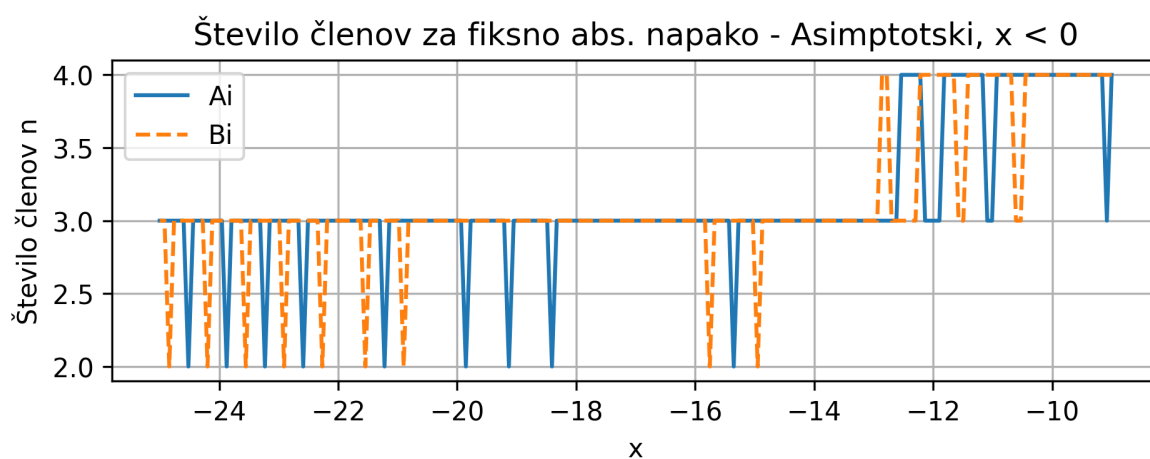
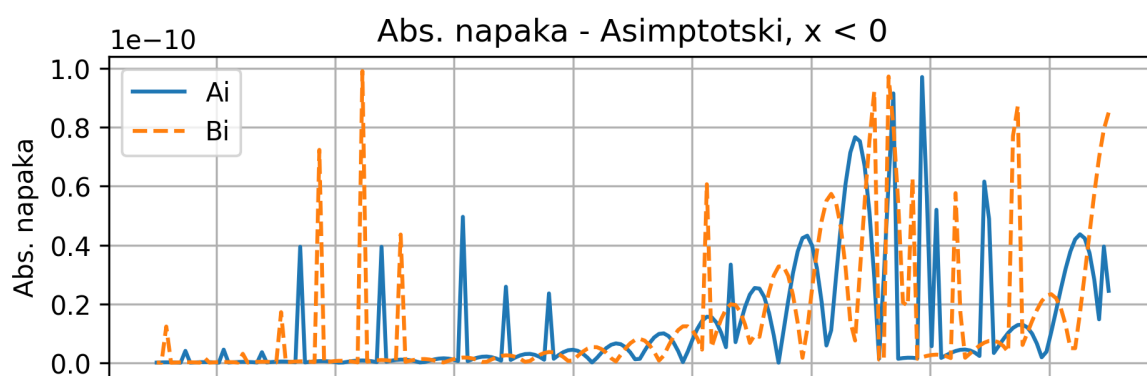
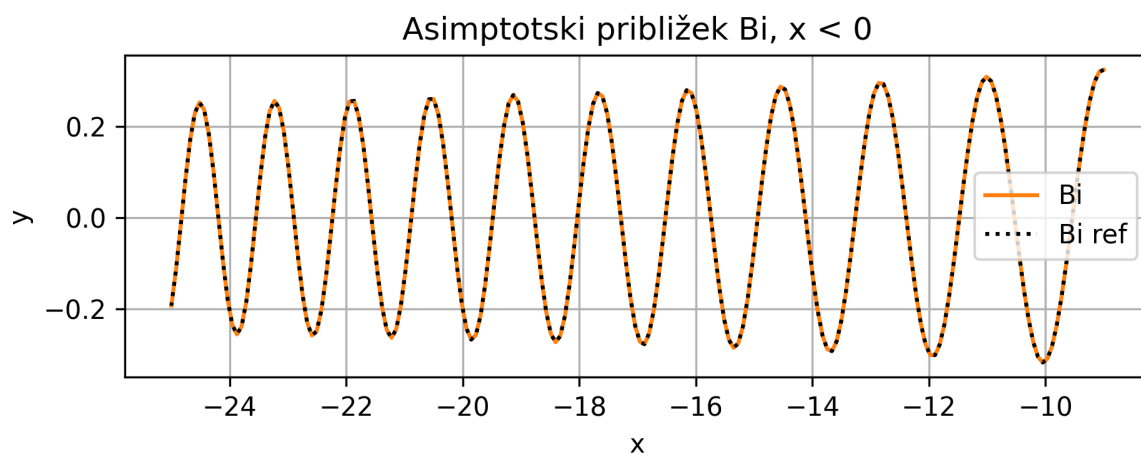
## 6.1. Za po absolutni vrednosti velike negativne $x$

Za po absolutni vrednosti velike negativne  $x$  implementiramo funkciji  $P(z)$  in  $Q(z)$  rekurzivno kot vsoto členov  $p_n$  oz.  $q_n$  za  $n \in \mathbb{N}$

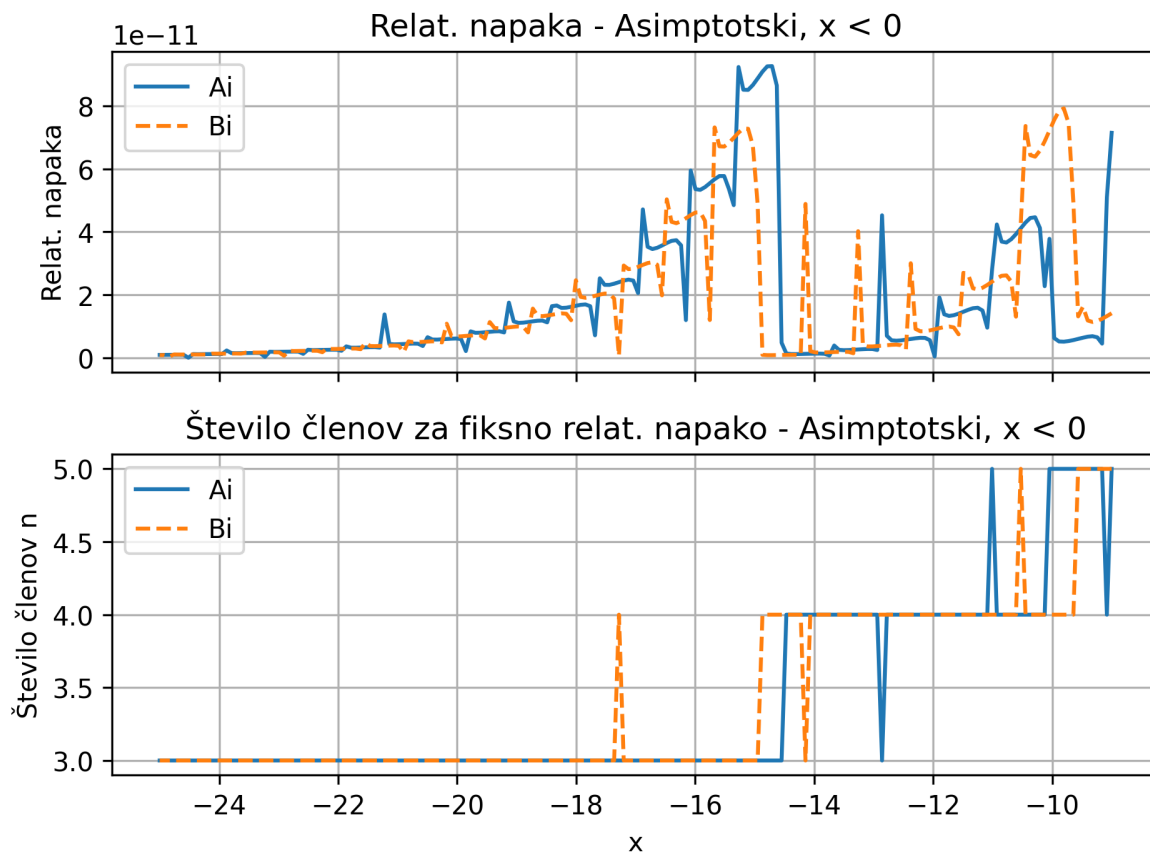
$$p_n = p_{n-1} \cdot \frac{p_n}{p_{n-1}} = p_{n-1} \cdot -\frac{(6n - \frac{1}{2})(6n - \frac{5}{2})(6n - \frac{7}{2})(6n - \frac{11}{2})}{(2n - 1)(2n) 18^2 z^2}, \quad p_0 = 1$$

$$q_n = q_{n-1} \cdot \frac{q_n}{q_{n-1}} = q_{n-1} \cdot -\frac{(6n - \frac{1}{2})(6n - \frac{5}{2})(6n + \frac{1}{2})(6n + \frac{5}{2})}{(2n + 1)(2n) 18^2 z^2}, \quad q_0 = \frac{5}{72z}.$$

Izračunane vrednosti primerjamo z referenčno funkcijo. Pri računanju z rekurzivno formulo število členov povečujemo dokler ne dosežemo najmanjšega razdalje do reference.



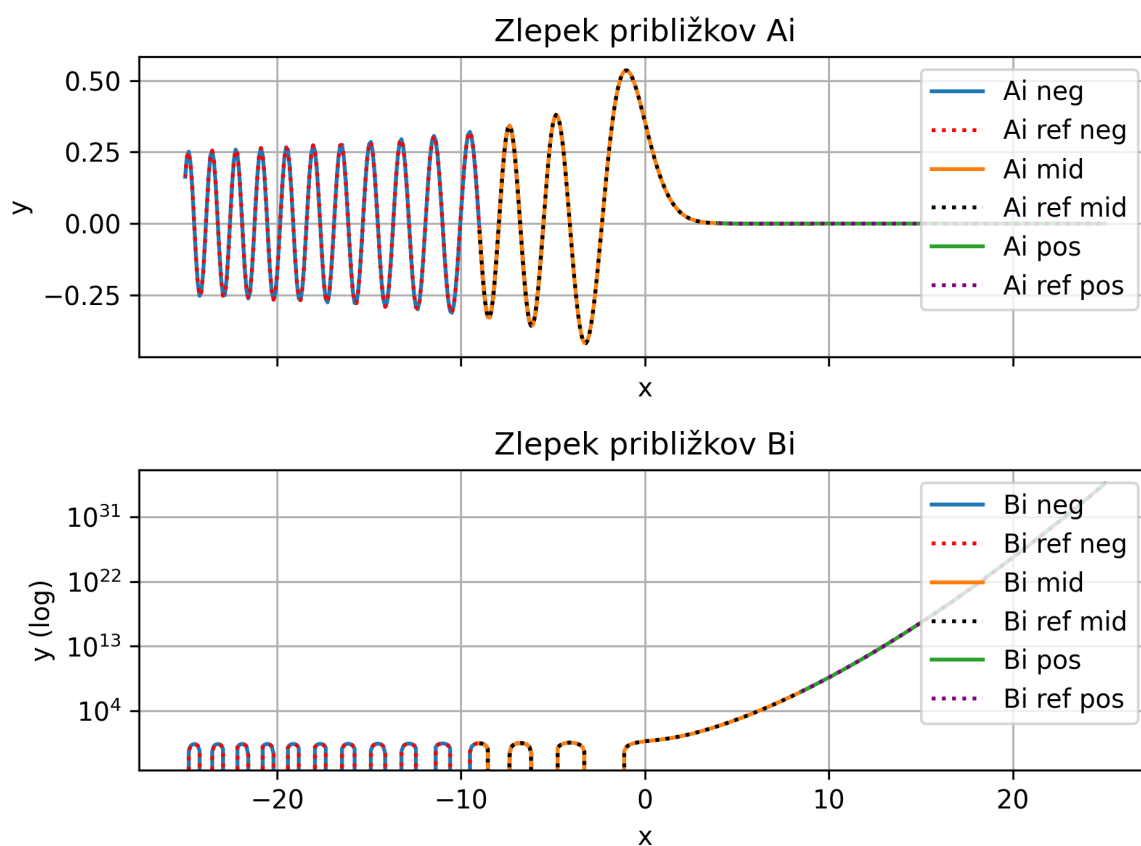
**Absolutna napaka:** Absolutna napaka je ustrezna, število členov z manjšanjem  $x$  pada.

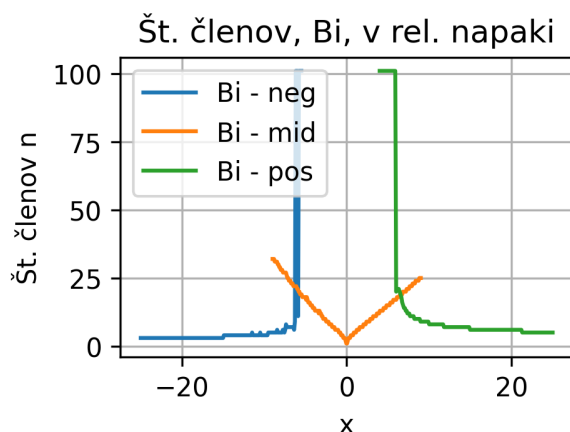
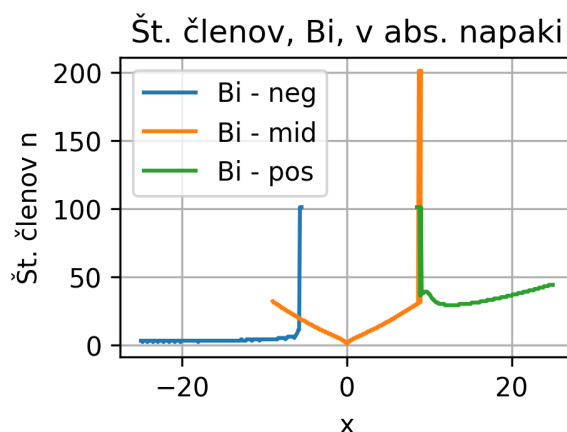
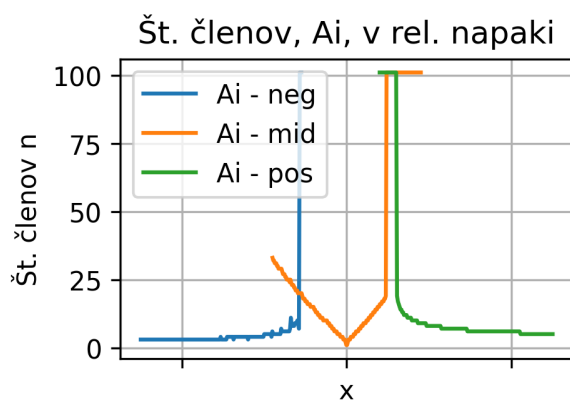
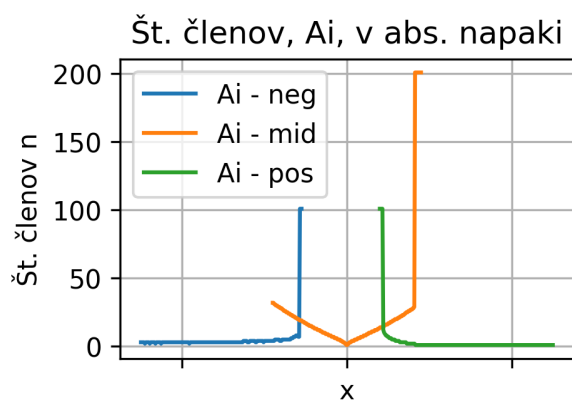


**Relativna napaka:** Relativna napaka je ustrezna, število členov in tudi relativna napaka z manjšanjem  $x$  pada.

## 7. Zlepek približkov

V nadaljevanju bomo naše vrste zlepili in tako dobili Python funkcije, ki lahko učinkovito izračunajo  $A_i$  in  $B_i$  v okviru absolutne in relativne napake za celotno realno os.





**Število členov v zlepkih:** Na grafih prikažemo potrebno število členov za doseganje absolutne in relativne napake manjše od  $10^{-10}$  za zlepke  $A_i$  in  $B_i$ . Vsi dobljeni zlepki so relativno učinkoviti (potrebujejo majhno število členov) z izjemo zgornjega desnega grafa. Tam imamo v bližini  $x = 4$  težave z doseganjem ciljne napake, saj število členov tako za Maclaurinovo in asimptotsko vrsto podivja ( $>500$ ).

## 8. Dodatno: Ničle funkcij

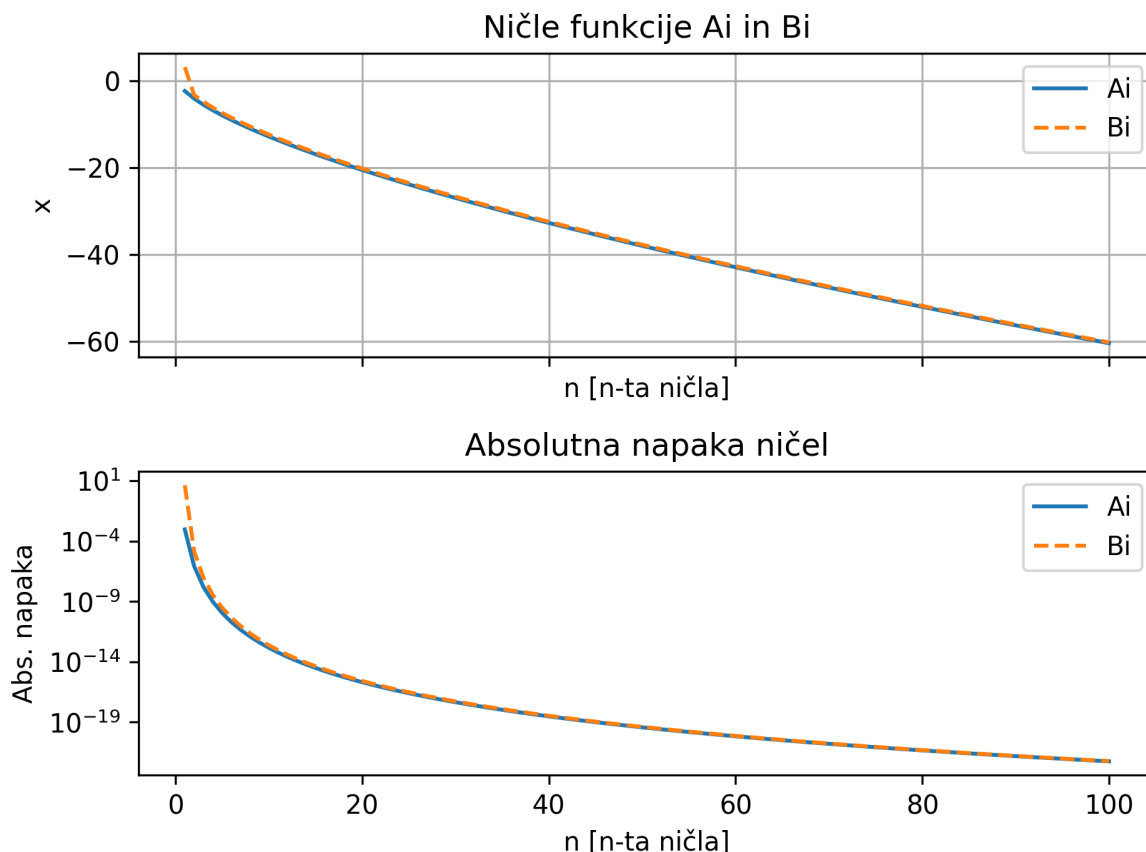
Ničle funkcije  $A_i$  pogosto srečamo v matematični analizi pri določitvi intervalov ničel specialnih funkcij in ortogonalnih polinomov ter v fiziki pri računu energijskih spektrov kvantnomehanskih sistemov.

V nadaljevanju poiščemo prvih sto ničel  $\{a_s\}_{s=1}^{100}$  Airyjeve funkcije  $A_i$  in prvih sto ničel  $\{b_s\}_{s=1}^{100}$  funkcije  $B_i$  pri  $x < 0$ . Za izračun uporabimo knjižnico `mpmath` in vgrajeni funkciji `airyaizero` in `airybizero`. Dobljene vrednosti primerjamo s formulama

$$a_s = -f\left(\frac{3\pi(4s-1)}{8}\right), \quad b_s = -f\left(\frac{3\pi(4s-3)}{8}\right), \quad s = 1, 2, \dots,$$

kjer ima funkcija  $f$  asimptotski razvoj

$$f(z) \sim z^{2/3} \left( 1 + \frac{5}{48} z^{-2} - \frac{5}{36} z^{-4} + \frac{77125}{82944} z^{-6} - \frac{108056875}{6967296} z^{-8} + \dots \right).$$



**Ničle Airyjevih funkcij:** Iz rezultatov potrdimo, da zgornja asimptotska vrsta znotraj intervalov napak ustreza ničlam Airyjevih funkcij. Absolutna napaka se z večanjem  $n$  manjša.

## 9. Zaključek

Tekom tega poročila nam je uspelo poiskati učinkovit način za izračun Airyjevih funkcij z absolutno napako manjšo od  $10^{-10}$ . Tipično število potrebovanih členov vrste je manjše od 25. Potencialne težave imamo le pri funkciji  $Bi$  za velike  $x$ , saj tam število potrebnih členov izgleda kot da počasi narašča. Vendar v tem območju funkcija presega vrednosti  $10^{100}$ , tako da se nam doseganje absolutne napake manjše od  $10^{-10}$  ne zdi pretirano praktično uporabno. Podoben uspeh smo dosegli tudi za relativno napako manjšo od  $10^{-10}$ , kjer sta funkciji učinkoviti na celotni realni osi z izjemo okolice  $x = 4$  pri funkciji  $Ai$ . Tam število potrebovanih členov strmo naraste (na več kot 500) za asimptotsko in Maclaurinovo vrsto, posledično v tej okolici za majhno število členov ciljane relativne napake ne dosežemo.

Za konec smo izračunali še prvih 100 ničel obeh Airyjevih funkcij in jih primerjali z asimptotskim razvojem. Pričakovano, se absolutna napaka manjša z manjšanjem  $x$  (negativna vrednost) oz. večanjem  $n$  (tj. indeksa, ki označuje ničle na negativni polosi).